

تهیه، شناسایی و بررسی ساختار بلوری کمپلکس مس دو ظرفیتی با لیگاند جدید ۳، ۳'، ۳''-پروپان-۱، ۲-دی‌ایل‌بیس(آزانیتریل) اسید تراپروپانوئیک

زینب نورمحمدزاده^{*}، محمد حکیمی^{*}، حسن حسنی

گروه شیمی، دانشکده علوم پایه، دانشگاه پیام نور، تهران، ایران.

(دریافت مقاله: ۱۴۰۱/۱۲/۱، نسخه نهایی: ۱۴۰۲/۱/۶)

چکیده: در این پژوهش، ترکیب جدید تترامتیل-۳، ۳'، ۳''-پروپان-۱، ۲-دی‌ایل‌بیس(آزانیتریل) (TPAT) از واکنش پروپان-۱، ۲-دی‌آمین و متیل‌آکریلات در حلال متناول تهیه گردید. ترکیب TPAT در محیط بازی، همزمان با تشکیل کمپلکس به لیگاند ۳، ۳'، ۳''-پروپان-۱، ۲-دی‌ایل‌بیس(آزانیتریل) اسید تراپروپانوئیک (H_4PAT) تبدیل شد. کمپلکس ۳، ۳'، ۳''-پروپان-۱، ۲-دی‌ایل‌بیس(آزانیتریل) تراپروپیونات مس (II) [Cu(H₂PAT)] با روش‌های طیف‌سنجی تبدیل فوریه فروسرخ (FT-IR)، تشید معنایطیسی هسته‌ای پروتون (HNMR) و تجزیه عنصری کربن، هیدروژن، نیتروژن و گوگرد (CHNS) شناسایی و با پراش پرتوی X (XRD) تعیین ساختار گردید. لیگاند H₄PAT از طریق دو اتم نیتروژن، دو اتم اکسیژن از یون پروپیونات و یک گروه کربونیل از اسید پروپانوئیک به اتم مس همتافته شده است و آرایش هندسی هرم مربعی واپیچیده دارد. این کمپلکس در سیستم بلوری راستگوشی با گروه فضایی $Pna2_1$ با $a=14.1429(8)$ Å، $b=14.1429(8)$ Å و $c=9.9781(3)$ Å با چهار مولکول در یاخته یکه ($Z=4$) متابلو شده است. کاربرد کاتالیزوری این کمپلکس بررسی شد. از ۲ میلی مول کمپلکس [Cu(H₂PAT)] برای جفت شدن فنیل برمید، در شرایط تقطیر، بدون حلal در مدت زمان ۱۲۰ دقیقه استفاده شد و بی‌فیل با بازده ۸۰ درصد تشکیل گردید.

واژه‌های کلیدی: مشتق‌های پروپان-۱، ۲-دی‌آمین؛ کمپلکس لیگاند چند دندانه؛ کمپلکس مس (II)؛ ساختار بلوری؛ شیمی کوئوردنیاسیون.

مقدمه -
پروپان-۱، ۲-دی‌آمین و پروپان-۱، ۳-دی‌آمین (pn)، پروپان-۱، ۲-دی‌آمین و پروپان-۱، ۳-دی‌آمین (en)، توانند به عنوان کیلیت یا لیگاندهای پل‌ساز، همتافته شوند و نیز به علت داشتن گروه‌های NH₂ قادرند تا در پیوندهای هیدروژنی شرکت کرده و موجب ساختارهای پیش‌بینی نشده و مؤثر شوند [۸]. کمپلکس‌هایی که در اثر واکنش دی‌آمین‌ها با فلزهای واسط تشکیل می‌شوند، کاربردهای گسترده‌ای دارند [۹]. بسیاری از این کمپلکس‌ها تهیه شده و ویژگی‌های مختلف آن‌ها شامل سلطان‌زایی، فعالیت‌های نوری و زیستی بررسی شده است [۱۰].

دو لیگاند متقارن شبیه اتیلن‌دی‌آمین‌تتراستیک‌اسید (EDTA)، اتیلن‌دی‌آمین-N,N'-دی‌استات-N,N'-دی-۳-پروپیونات و ۱، ۳-پروپان‌دی‌آمین-N,N'-دی‌استات-N,N'-دی-۳-

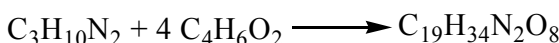
آمین‌ها و مشتق‌های آن‌ها (تک‌دانه، دودنده و غیره) که کمپلکس‌های پایداری با فلزهای واسط می‌سازند، شناخته شده‌اند [۱]. دی‌آمین‌ها به عنوان لیگاند در سنتز نامتقارن کاربردهای فراوانی دارند [۲]. همچنین چند ماهیت فعلی زیستی از دی‌آمین‌ها شناخته شده است. مشتق‌های دی‌آمین کاربرد پزشکی- دارویی دارند. همچنین آن‌ها در تعیین جیوه در آبهای طبیعی [۳]، تولید رزین‌های گرمایش رنگی و اپوکسی رزین‌های متقاطع [۴]، تعیین سلنجیم با روش‌های ابزاری، جلوگیری از خوردگی [۵]، رنگ موی پودری [۶]، همبسپارسازهای تبادل کاتیونی و برخی از داروهای ضد آرثی [۷] کاربرد دارند. دی‌آمین‌ها چون اتیلن‌دی‌آمین

*نویسنده مسئول، تلفن: ۰۹۱۵۱۱۱۳۲۴۳، پست الکترونیکی: m.hakimi@pnu.ac.ir

Thermo Nicolet (FT-IR) با تهیه قرص KBr در دستگاه 370-AVATAR مدل ۴۰۰ ساخت آمریکا در گستره $400\text{--}4000\text{ cm}^{-1}$ با قدرت تفکیک (۴) ثبت گردید. طیفهای تشید مغناطیسی هسته ای پروتون ($^1\text{H NMR}$) با دستگاه Bruker DPX-300 در حلal کلروفرم در دمای 25°C به دست آمد و جابه‌جایی شیمیایی بر حسب ppm تعیین شد. عناصر کربن، هیدروژن، نیتروژن و گوگرد با دستگاه تجزیه عنصری Thermo Finnigan FLASH 1112 EA Elemental Analyzer ساختار بلوری کمپلکس $3',3'',3'''-(پروپان-۲،۱-دی‌ایل‌بیس (آزانیتریل))$ تترابروپیونات مس (II) با پراش سنج پرتوی ایکس Bruker SMART مجهز به آشکارساز افزاره بار جفت شده (CCD) با تابش CuKa تکفام در 95°K تعیین شد.

روش تهیه

ترکیب تترامتیل- $3',3'',3'''-(پروپان-۲،۱-دی‌ایل‌بیس(آزانیتریل))$ تترابروپیونات
برای تهیه TPAT، به مقدار اضافی ۲/۲۱ گرم (۲۵ میلی مول) از متیل‌آکریلات در ۲۰ میلی لیتر متانول حل گردید و در حمام یخ قرار داده شد. سپس محلول متانولی 0.37 g/mol میلی مول پروپان-۲،۱-دی‌آمین به صورت قطره قطره در ۳ مدت یک ساعت به آن اضافه گردید. محیط واکنش به مدت ۳ روز در دمای 45°C قرار گرفت. پس از این مدت، متیل‌آکریلات اضافی و متانول توسط دستگاه چرخشی خارج گردید و مایع روغنی زرد رنگ بدست آمد.



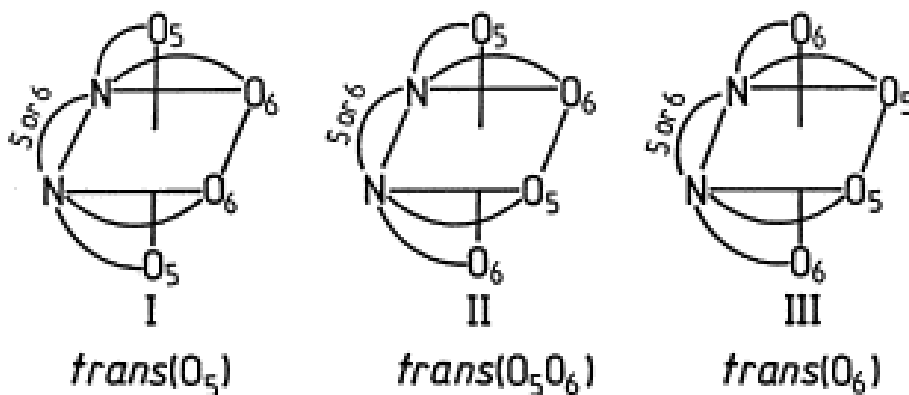
دی-۳-پروپیونات eddadp و ۱,3-pddadp (۱) که در اندازه دی‌آمین متفاوت هستند، ممکن است سه ایزومر هندسی برای کوئوردیناسیون شش‌دانه تشکیل دهنده: (I) $\text{trans}(\text{O}_5)$ (II) $\text{trans}(\text{O}_5\text{O}_6)$ و (III) $\text{trans}(\text{O}_6)$ که O_5 و O_6 به حلقه‌های کربوکسیلات پنج و شش عضوی اشاره دارند (شکل ۱).

کمپلکس‌های هشت‌وجهی $[\text{Cu}(\text{edta})]^2-$ و $[\text{Cu}(1,3-\text{d}^9\text{pddadp})]^2-$ ، به علت داشتن آرایش الکترونی d^9 مس (II)، واپیچش شدید یان-تل دارند و در همه آن‌ها، واپیچش از نوع کشیدگی است، یعنی طول دو پیوند فلز-لیگاند از چهار پیوند دیگر بیشتر است [۱۱]. الگوی کوئوردیناسیون مس با لیگاند H_4PAT و لیگاندهای مشابه می‌تواند برای تصفیه مس از فاضلاب اسیدی، همچنین برای جلوگیری از تخریب فوتوكاتالیزوری اکسید تیتانیوم استفاده شود [۱۲] و [۱۳].

در این پژوهش، ترکیب جدید تترامتیل- $3',3'',3'''-(پروپان-۲،۱-دی‌ایل‌بیس(آزانیتریل))$ تترابروپیونات (TPAT) تهیه شد که از واکنش آن با نمک مس دوظرفیتی، نخست لیگاند $3',3'',3'''-(پروپان-۲،۱-دی‌ایل‌بیس(آزانیتریل))$ اسید تترابروپانوئیک (H_4PAT) و سپس کمپلکس جدید $3',3'',3'''-(پروپان-۲،۱-دی‌ایل‌بیس(آزانیتریل))$ تترابروپیونات مس (II)، $[\text{Cu}(\text{H}_2\text{PAT})]$ به دست آمد.

بخش تجربی تجهیزات دستگاهی

نقاط ذوب یا تجزیه با دستگاه Bamstead Electrothermal مدل ۹۲۰۰ ۹۲۰۰ اندازه‌گیری شدند. طیفهای تبدیل فوریه فروسخ



شکل ۱ ایزومرهای هندسی ممکن کمپلکس‌های شش‌دانه $[\text{M}(1,3-\text{pddadp})]^n$ و $[\text{M}(\text{eddadp})]^n$

شده است.

در شکل ۲، طیف تشدید مغناطیسی هسته هیدروژن در کلروفرم نشان داده شده است. در این طیف، دوازده TPAT هیدروژن متصل به عنصر الکترو منفی اکسیژن در $3/5$ ppm به صورت یکتایی، ده هیدروژن در گستره $2/5-2/7$ ppm مربوط به گروه متیلن و متن متصل به گروه نیتروژن به صورت چندتایی، هشت هیدروژن در $2/1-2/3$ ppm مربوط به گروه متیلن متصل به گروه کربونیل به صورت سه تایی و سه هیدروژن در محدوده $0/7$ مربوط به گروه متیل پروپان به صورت دوتایی وجود دارند که شبیه موارد گزارش شده در مراجع است [۱۵]. در متیل آکریلات، قلهای مربوط به هیدروژن های sp^2 در گستره $5/8-6/5$ ppm ظاهر شده اند که این قله در فراورده نهایی وجود ندارد.

[Cu(H₂PAT)] کمپلکس شناسایی

کمپلکس $[\text{Cu}(\text{H}_2\text{PAT})]$ از واکنش TPAT، بی کربنات سدیم و نمک مس (II) نیترات سه آبه به نسبت ۱:۲:۱ در حلول آب همراه با هم زدن و گردانید. در مدت مناسب تا ۵۰ دقیقه شکسته شد.

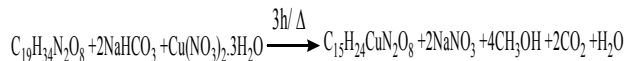
همراه با هم زدن و گرمادهی برای مدت مناسب تهیه شد.

در طیف FT-IR این کمپلکس، نوار مربوطه به مدارتعاش 3000 cm^{-1} کششی پیوند OH اسید پروپانوئیک در گستره 3700 cm^{-1} دیده می‌شود که این نوار در ترکیب TPAT وجود ندارد. قله مربوط به ارتعاش کششی پیوند C=O برای TPAT در 1738 cm^{-1} است، در حالی که در کمپلکس، سه قله مربوط به ارتعاش کششی پیوند C=O اسید پروپانوئیک آزاد در 1691 cm^{-1} ، ارتعاش کششی پیوند C=O اکسیژن همتافته به فلز مس در 1674 cm^{-1} و ارتعاش کششی پیوند C=O گروه کربونیل همتافته به فلز مس در 1565 cm^{-1} وجود دارد. نوارهای مربوط به ارتعاش کششی پیوند C=O در کمپلکس نسبت به ترکیب TPAT به ترتیب 47 ، 64 و 173 cm^{-1} به سمت بسامدهای کمتر جابجا شده‌اند که به احتمال بسیار بدليل همتافته شدن اتم‌های اکسیژن به اتم مرکزی مس است [۱۶]. همچنین نوار مربوط به ارتعاش کششی پیوند C-N در کمپلکس نسبت به ترکیب 86 cm^{-1} به سمت بسامدهای کمتر جابجایی دارد که به احتمال بسیار نشان دهنده همتافته شدن اتم‌های نیتروژن به اتم مس است [۱۷].

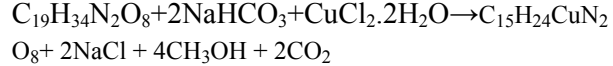
روش تهیه

تتر اپروپیونات مس (II) کمپلکس $\text{[Mn}(\text{H}_2\text{O})_6]^{\text{2+}}$ - (پروپان-۱،۲-دی‌ایل بیس(آزانیتریل))

محلول حاوی ۰۲۴ گرم (۱ میلی مول) نیترات سه آبه در ۲۰ میلی لیتر آب، به ۰۴۲ گرم (۱ میلی مول) ترکیب TPAT و ۰۱۷ گرم (۲ میلی مول) بیکربنات سدیم در ۲۰ میلی لیتر آب، همراه با هم زدن در دمای $^{\circ}\text{C}$ ۶۵، اضافه گردید. هم زدن و گرمادهی در همان دما به مدت ۱ ساعت ادامه یافت. pH محلول را با افزایش تدریجی بیکربنات سدیم به ۷ رسانده و محلول آبی رنگ بیش از ۲ ساعت در همان دما گرمادهی شد (حجم محلول با افزایش متناوب آب داغ ثابت ماند). سپس محلول تا حجم ۱۰ میلی لیتر، تبخیر شد. بلورهای آبی رنگ مناسب برای بلورشناسی پس از یک هفته تشکیل و جمع‌آوری شد.



این کمپلکس از مس(II) کلرید دو آبه نیز مانند روش بیان شده تهیه گردید:

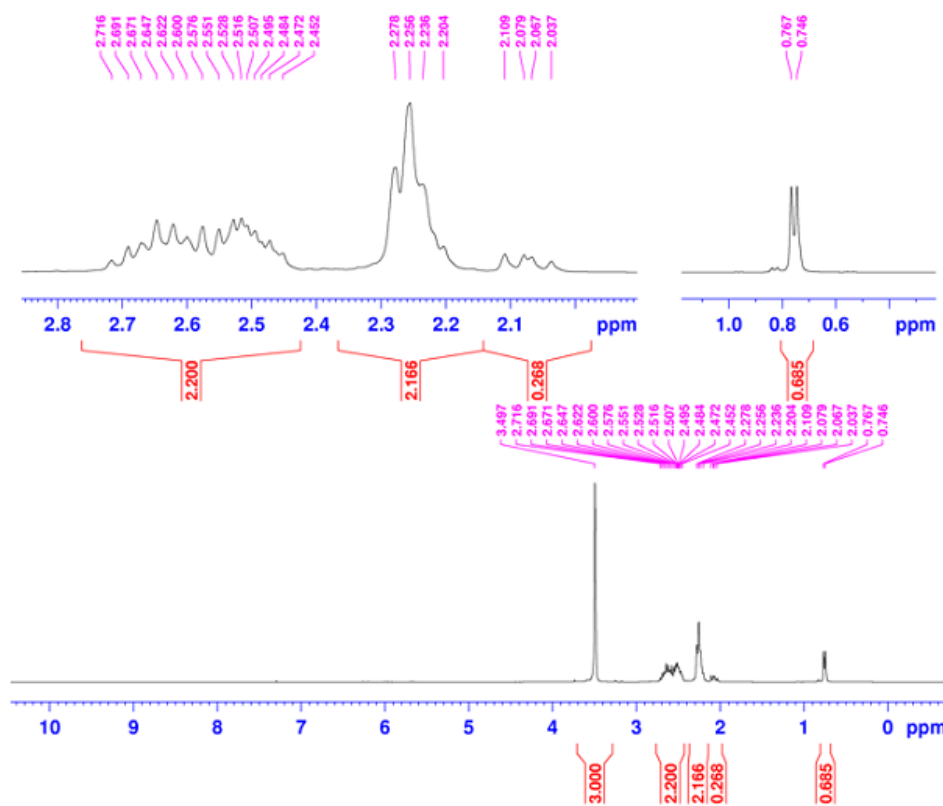


بحث و بررسی

ترکیب TPAT از واکنش مقدار اضافی متیل‌اکریلات با پروپان-۱،۲-دی‌آمین در حلول متابول تهیه شد. این ترکیب همزمان با تشکیل کمپلکس به لیگاند H₄PAT H₄PAT تبدیل شد و سپس کمپلکس دی‌پروتونه [Cu(H₂PAT)] تشکیل گردید.

TPAT ترکیب شناسایی

در طیف FT-IR نمونه pn، نوارهای مربوط به مدهای ارتعاش کششی نامتقارن و متقارن NH_2 به ترتیب پیرامون ۳۳۶۹ و ۳۲۸۴ cm^{-1} وجود دارد که در ترکیب TPAT، قلهای مربوط به گروه آمین حذف شده اند. نوار مربوط به مد ارتعاش کششی C=C در طیف متیل‌آکریلات در ۱۶۲۰ cm^{-1} وجود دارد که در فرآورده نهایی این قله حذف گردیده است [۱۴]. پیوند C=C با گروه کربونیل در متیل‌آکریلات به صورت مزدوج است، در صورتی که در طیف TPAT به علت نبود پیوند C=C، گروه کربونیل به اندازه ۱۱۸ cm^{-1} به سمت انرژی‌های بالاتر جابجا



شکل ۲ طیف رزونانس مغناطیسی هسته ترکیب تترامتیل-۳،۳'،۳'''-پروپان-۱،۲-دی ایل بیس(آزانیتریل) تترابروپیوونات در کلروفرم.

یاخته یکه ($Z=4$) متبلور شده است. در جدول ۲، طول پیوندهای برگزیده در کمپلکس $[\text{Cu}(\text{H}_2\text{PAT})]$ آورده شده است. طول پیوند دوگانه O2-C3(۶)، برابر با $1/232$ (۶) آنگستروم در مقایسه با طول پیوندهای O6-C5 و O3-C1 به ترتیب $1/272$ (۶) و $1/263$ (۶) آنگستروم نشان می‌دهد که پیوند دوگانه به سمت پیوند یگانه پیش می‌رود. طول پیوندهای Cu1-N2 و Cu1-N1 به ترتیب $2/041$ (۴) و $2/031$ (۴) آنگستروم است، در حالی که طول پیوندهای Cu1-O2-Cu1-O2- O_3 و Cu1-O6، به ترتیب $2/217$ (۴)، $2/217$ (۴) و $1/945$ (۳) آنگستروم هستند. افزایش طول پیوند Cu1-O2 به دلیل تشديد پیوند بين اتم‌های Cu1 و C3 است. پیوند C2-O4، با طول $1/215$ (۷) آنگستروم، دوگانه است، در حالی که طول پیوند C3-O7، $1/281$ (۶) آنگستروم و پیوند یگانه است. نمودار ORTEP-III کمپلکس در شکل ۳ نشان داده شده است. لیگاند H₄PAT از طریق دو اتم نیتروژن، دو اتم اکسیژن از یون پروپیوونات و یک گروه کربونیل از اسید پروپانوئیک به

بلورشناسی $[\text{Cu}(\text{H}_2\text{PAT})]$
ساختار بلوری ترکیب‌های معدنی از اتصال واحدهای ساختاری خنثی یا یونی توسط برهمکنش‌های بین مولکولی به وجود می‌آید. چیدمان واحدهای سازنده و ویژگی‌های ساختاری ترکیب به نوع گروههای عاملی و برهمکنش بین آن‌ها در جامدهای بلوری بستگی دارد. مهندسی بلور با شیمی فرامولکولی، بلورشناسی پرتو ایکس، علم مواد و شیمی حالت جامد ارتباط نزدیک دارد [۱۸].

تک بلورهای مناسب برای بلورشناسی کمپلکس $[\text{Cu}(\text{H}_2\text{PAT})]$ تترابروپیوونات مس (II) از تبخیر آهسته آن در محیط آبی تهیه گردیدند. مشخصه‌های بلورشناسی کمپلکس $[\text{Cu}(\text{H}_2\text{PAT})]$ که با پراش پرتوی ایکس تک بلوری در 95°K تعیین شد. در جدول ۱ آورده شده است. این کمپلکس در سیستم بلوری $a=b=14.1429(8)$ Å، $c=9.9781(3)$ Å، $\alpha=\beta=\gamma=90^{\circ}$ و $Pna2_1$ با چهار مولکول در

کمپلکس، چهار پیوند هیدروژنی بین مولکولی $C_1=O1\ldots OH$ ، $C_1=O1\ldots OH$ ، $C_5=O5\ldots OH$ ، $C_2-OH\ldots O$ و $C_3-OH\ldots O$ وجود دارد. دو گروه هیدروکسیل با اکسیژن گروه کربوکسیلات مولکول دیگر تشکیل پیوند هیدروژنی داده‌اند که این برهمکنش‌های بین مولکولی باعث گستردگی شدن شبکه در صفحه bc می‌شوند.

جفت شدن برمونیزن با استفاده از کمپلکس $[Cu(H_2PAT)]$ بسیاری از کمپلکس‌های فلزهای واسطه بر پایه لیگاندهای دهنده اتم نیتروژن سنتز شده‌اند که به عنوان کاتالیزور همگن به کار رفته و بسیار کارآمد و انتخابی عمل می‌کنند. همچنین، این کمپلکس‌ها نقش مهمی در زمینه‌ی الکتروشیمیابی، مسائل زیست محیطی و فعالیت‌های زیستی چون پروتئین‌ها، اسیدهای نوکلئیک، ویتامین‌ها و داروهای دارند [۲۲]. گسترش روش‌های کارآمد برای تشکیل پیوند کربن-کربن نقش بسیار مهمی در سنتز ترکیب‌های آلی و ترکیب‌های فعال زیستی دارند. بی‌آریل‌ها اجزای ساختاری مهمی در پلیمرها، ترکیب‌های شیمیایی کشاورزی، فرآوردهای طبیعی و حد واسطه‌ای دارویی هستند [۲۳ و ۲۴]. در این پژوهش، برای جفت شدن فنیل برمید از ۲ میلی مول کمپلکس $[Cu(H_2PAT)]$ در شرایط تقطیر، بدون حلول برای مدت ۱۲۰ دقیقه استفاده شد و بی‌فنیل با بازده ۸۰ درصد تشکیل گردید (شکل ۴).

ا تم مس همتافته شده است که می‌تواند ساختار هرم مربعی و یا دوهمرمی مثلثی داشته باشد. برای شناسایی چنین ساختارهایی از رابطه ادیسون و همکاران استفاده شد [۱۹] که در آن پارامتر ساختاری، ساختاری زاویه‌ای τ به عنوان شاخص مثلثات نشان داده می‌شود. پارامتر $\tau=\alpha-\beta$ ، که در آن α و β دو زاویه بزرگ در اتم مس با $\alpha \geq \beta$ هستند. در ساختار هرم مربعی آرمانی، $\alpha=180^\circ$ ، $\beta=180^\circ$ و $\tau=0^\circ$ و در ساختار دوهمرمی مثلثی آرمانی، $\alpha=120^\circ$ ، $\beta=180^\circ$ و $\tau=1^\circ$ است [۲۰]. این کمپلکس دو زاویه بزرگ O_3 Cu1 N₂ برابر با $176(2)$ درجه و O_6 Cu1 N1 برابر با $161.2(2)$ درجه دارد و $\tau=0^\circ/25^\circ$ است. از آنجاکه مقدار τ به صفر نزدیک است، ساختار هرم مربعی واپیچیده پیرامون اتم مس را دارد. این کمپلکس بالقوه شش کوئوردینه باشد، ولی با توجه به دلایل بیان شده، ساختار پنج کوئوردینه دارد. همچنین هندسه کوئوردیناسیون کمپلکس از نظر وجهی در برابر نصف‌النهاری نیز بررسی شد. به طور کلی هر لیگاند سه‌دانه می‌تواند به صورت وجهی یا نصف‌النهاری به اتم فلز همتافته شود. در شکل وجهی، سه زاویه 90° درجه و در شکل نصف‌النهاری، دو زاویه 90° درجه و یک زاویه 180° درجه وجود دارد [۲۱]. از این رو با توجه به جدول ۳، هندسه کوئوردیناسیون کمپلکس وجهی است. در شبکه بلوری

جدول ۱ مشخصه‌های بلورشناسی کمپلکس $[Cu(H_2PAT)]$

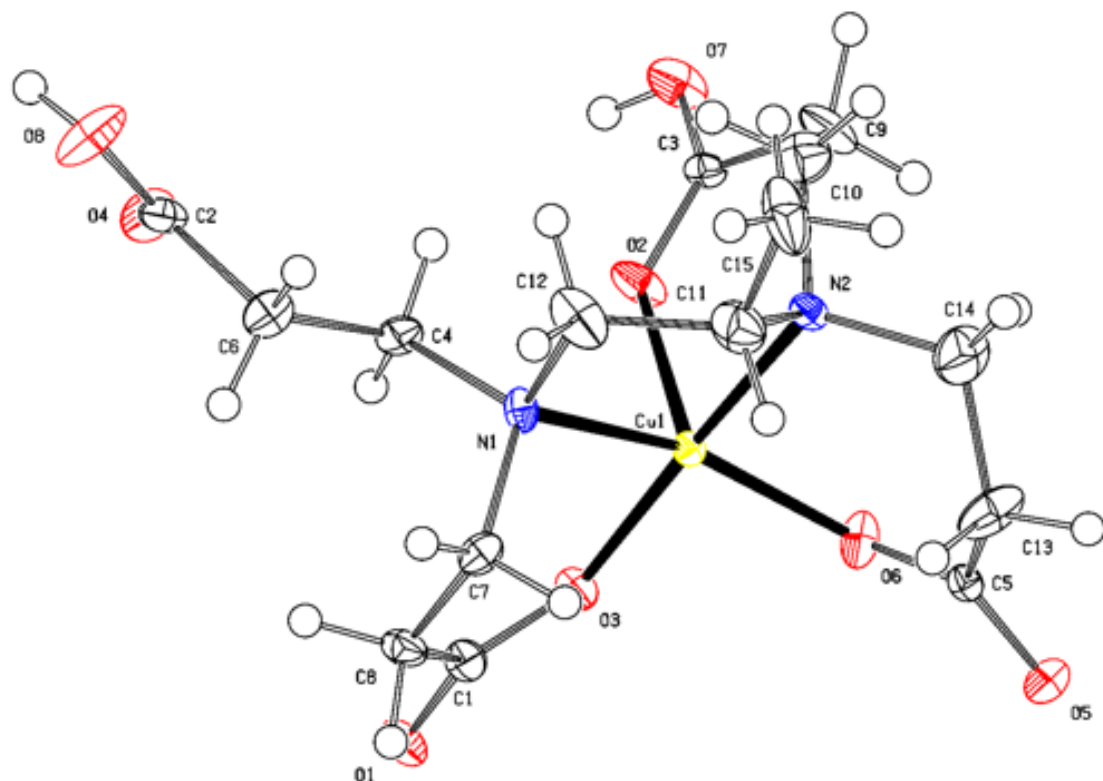
$C_{15}H_{24}CuN_2O_8$	فرمول تجربی
۴۲۳.۹	جرم مولکولی (گرم بر مول)
۹۵	دما (کلوین)
۰.۱۰ X ۰.۰۸ X ۰.۰۷	اندازه بلور (میلی‌متر مکعب)
راستگوشی	سیستم بلوری
<i>Pna2</i> ₁	گروه فضایی (a)
۱۴.۱۴۲۹(۸)	<i>a</i> (آنگستروم)
۱۱.۷۹۵۵(۵)	<i>b</i> (آنگستروم)
۹.۹۷۸۱(۳)	<i>c</i> (آنگستروم)
۱۶۶۴.۵۷(۱۳)	حجم یاخته یکه (\AA^3)
۴	تعداد مولکول در یاخته یکه
۱.۶۹۱	چگالی (گرم بر سانتی‌متر مکعب)
۸.۸۴	$F(000)$
۱۲۱۴.۱۷	مقادیر l, k, h بیشینه
۷۳.۲۲۰	θ بیشینه (درجه)
۰.۰۴۳۴/۰.۱۱۰۹	R_{1/wR_2}
۲۲۸۸۷۱۹	شماره کارت CCDC

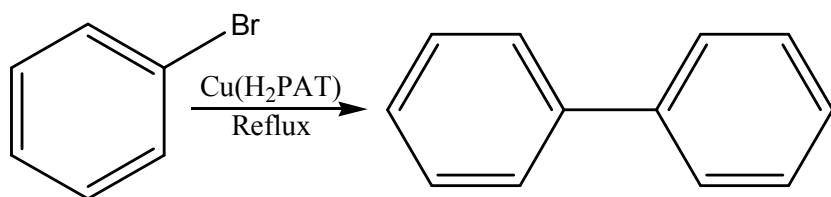
جدول ۲ طول پیوندهای برگزیده در کمپلکس [Cu(H₂PAT)]

شماره	اتم	طول (Å)
۱	Cu1O2	۲,۲۱۷(۴)
۲	Cu1O3	۱,۹۴۵(۳)
۳	Cu1O6	۱,۹۷۶(۴)
۴	Cu1N1	۲,۰۳۱(۴)
۵	Cu1N2	۲,۰۴۱(۴)

جدول ۳ زاویه‌های برگزیده در کمپلکس [Cu(H₂PAT)]

شماره	اتم	زاویه (°)
۱	O2Cu1O3	۹۰,۴(۱)
۲	O2Cu1O6	۱۰۰,۹(۲)
۳	O2Cu1N1	۹۷,۷(۲)
۴	O2Cu1N2	۹۳,۵(۲)
۵	O3Cu1O6	۸۶,۴(۲)
۶	O3Cu1N1	۹۰,۸(۲)
۷	O3Cu1N2	۱۷۶,۰(۲)
۸	O6Cu1N1	۱۶۱,۲(۲)
۹	O6Cu1N2	۹۳,۴(۲)
۱۰	N1Cu1N2	۸۸,۲(۲)

شکل ۳ نمودار ORTEP-III کمپلکس [Cu(H₂PAT)]

شکل ۴ تهیه بیفنیل از فنیل برمید با استفاده از [Cu(H₂PAT)]

[3] Zhenrong Q., Tan TC., “BOD measurement in the presence of heavy metal ions using a thermally-killed-Bacillus subtilis biosensor”, Water Res 33 (1999) 2923.

[4] Bonnaud L., Pascault JP., Sautereau H., “Kinetic of a thermoplastic-modified epoxy-aromatic diamine formulation: modeling and influence of a trifunctional epoxy prepolymer”, Eur. Polymer J. 36 (2000) 1313-1321.

[5] Ali SA., Saeed MT., “Synthesis and corrosion inhibition study of some 1,6-hexanediamine-based N,N-diallyl quaternary ammonium salts and their polymers”, Polymer 42 (2001) 2785-2794.

[6] Wang L., Tsai S., “Simultaneous determination of oxidative hair dye p-phenylenediamine and its metabolites in human rabbit biological fluids”, Analyt. Biochemistry. 312 (2003) 201.

[7] Durmuş S., Cand. Sci. (Chem.) Dissertation. Ankara. (1992).

[8] Turan N., Colak N., Sekerci M., “Synthesis and Characterization of Cu(II), Ni(II) and Cd(II) Complexes With 3,5-Diamino-4-(4-Bromo-Phenylazo)-1H-Pyrazole”, International Journal of Natural and Engineering Sciences 2 (3) (2008) 27-32.

[9] Garnovskii AD., Kharisov BI., “Aryl and 1,3-dioxoindanyl derivatives of azoles and azines”, Synthetic Coordination and Org. Met. Chemistry. New York-Basel (2003).

[10] Öztürk ÖF., Şekerci M., Özdemir E., “Preparation of complexes of 1-amino-6,7-o-cyclohexylidene-4-azaheptane with transition metal acetates”, Russian Journal of General Chemistry. 76 (1) (2006) 33-36.

[11] J. Radanovic D., Ianelli S., Pelosi G., D. Matovic Z., Tasic-Stojanovic S., E. Douglas B., “Some hexadentate Ni (II)-edta-type complexes containing five-membered diamine rings. The molecular and crystal structure of the trans(O₅) isomer of barium(ethylenediamine-N,N'-diacetato-N,N'-di-3-propionato) nickelate(II) hexahydrate, trans(O₅)-Ba[Ni(eddadp)].6H₂O, and strain

برداشت

در این پژوهش، ترکیب جدید TPAT و کمپلکس [Cu(H₂PAT)] تهیه شد و با روش‌های طیفسنجی FT-IR¹H NMR، تجزیه عنصری (CHNS) و پراش پرتوی X تک بلور شناسایی گردیدند. نتایج نشان داد که لیگاند H₄PAT با دو اتم نیتروژن (یک حلقه شلات پنج عضوی)، دو اتم اکسیژن از یون پروپیونات (دو حلقه شلات شش عضوی) و یک گروه کربونیل از اسیدپروپانوئیک به اتم مس همتافته شده و دارای ساختار هرم مربعی واپیچیده است. لیگاند EDTA با چهار اتم اکسیژن و دو اتم نیتروژن (سه حلقه شلات پنج عضوی) به اتم مس همتافته شده و دارای آرایش هندسی هشت‌وجهی است. لیگاند H₄PAT مانند لیگاند EDTA توانایی عدد هم‌آرایی ۶ را دارد، ولی به دلیل دارا بودن دو حلقه شلات شش عضوی در کمپلکس [Cu(H₂PAT)], یکی از گروه‌های کربوکسیلات این لیگاند به اتم مس همتافته نشده و عدد هم‌آرایی ۵ را ایجاد می‌کند.

قدرتانی

به این وسیله از دانشگاه پیام نور که ما را در اجرای هر چه بهتر این پژوهش یاری کرد، صمیمانه سپاسگزاریم.

مراجع

- [1] Bipin B.M., Debendra P., “Polymetallic complexes: Part V. ONNO tetradeinate N,N'-bis(acetoacetanilide)-1, 3-diaminopropane complexes of cobalt(II), copper(II) and zinc(II)”, Transition Met. Chemistry 9 (1984) 117.
- [2] Corey EJ., Sarshar S., Azimioara MD., Newbold RC., Noe MC., “X-ray Crystal and NMR Structure of a Highly Reactive Bidentate 1,2-Diamine-OsO₄ Complex, Formally a 20-Electron Outer Valence Shell Species. Mechanistic Implications for the 1,2-Diamine-Accelerated Dihydroxylation of Olefins by OsO₄”, J. Am. Chem. Soc. 118 (1996) 7851.

- [19] Addison A., Rao T., Reedjik J., Van Rijn J., Verschoor G., ‘*Synthesis, structure, and spectroscopic properties of copper(II) compounds containing nitrogen-sulphur donor ligands; the crystal and molecular structure of aqua[1,7-bis(N-methylbenzimidazol-2'-yl)-2,6-dithiaheptane] copper(II) perchlorate*’, *J. Chem. Soc., Dalton Trans.* (1984) 1349-1356.
- [20] Takjoo R., Hakimi M., Seyyedin M., Abrishami M., ‘*New 2-pyridinealdehyde N4 -hydroxyethyl thiosemicarbazone and their Cd(II) and Cu(II) complexes: synthesis, spectral, in vitro antibacterial activity and molecular and supramolecular structure study*’, *J. Sulfur Chem.* 31 (2010) 415-426.
- [21] Hakimi M., Mardani Z., Moeini K., Mohr F., Schuh E., Vahedi H., Synthesis, ‘*Crystallographic and Spectral Characterization of a Cadmium Chloride Complex Containing Novel Imidazo[1,5-a]Pyridine Derivative*’, *Z. Naturforsch.* 67b (2012) 452-458.
- [22] Ahmadi Sh., Delir Kheirollahi Nezhad P., ‘*Synthesis, identification and determination of the crystal structure of a new copper (II) complex based on schiff's tetradeinate ligand of pyridine and 1,6-diamino-3-azaxane (in Persian)*’, *Iranian Journal of Crystallography and Mineralogy (IJCm)* 29(3) (2021) 707-716.
- [23] Hekmati M., Yousefi M., Ziyadi H., Ghasemi E., Safari Mehr P., Veisi H., Maleki B., ‘*catalytic applications of coated nanopalladium particles coated on modified GO by Thymbraspicata extract in Suzuki coupling reactions (in Persian)*’, *J. Appl. Chem.* 16(58) (1400) 233-244.
- [24] Hassani H., Jahani Z., ‘*Preparation, characterization and application of magnetic Fe₃O₄@CeO₂ nanocatalysts for the synthesis of diindolyloxindole derivatives (in Persian)*’, *J. Appl. Chem.* 16(58) (1400) 149-166.
- analysis of edta-type chelates in relation to their octahedral distortion”, *Inorganica Chimica Acta*. 278 (1998) 66-75.
- [12] Mingjun H., Jianyong H., Xin W., Sai L., Chenyang Z., Hongliang Z., Wei S., Tong Y. “Deep purification of copper from Cu(II)-EDTA acidic wastewater by Fe(III) replacement,diethyldithiocarbamate precipitation”, *Chemosphere*.300 (2022) 134546.
- [13] Siew Siang L., Hongwei B., Zhaoyang L., Darren Delai S., “*Green Approach for Photocatalytic Cu(II)-EDTA Degradation over TiO₂: Toward Environmental Sustainability*”, *Environ. Sci. Technol.* 49(4) (2015) 2541-2548.
- [14] Hakimi M., Kukovec B.-M., Minoura M., “*2D s-d Mixed-Metal Coordination Polymer Containing Potassium, Chromium(III) and Dipicolinate Ions: Preparation and Crystal Structure*”, *J. Chem. Crystallogr.* 42 (2012) 290-294.
- [15] Kim T., Kim S., Lee D-g., Lim C-S., Seo B., “*Preparation of a branched amine and physical and thermal studies of epoxy compositions including the amine compound*”, *J. APPL. POLYM. SCI* (2018) 1-7.
- [16] Afzaal M., Flynn E., Malik M. A., O'Brien P., Motevalli M., *Mixed ligand chelates of copper(II) with substituted diamines*”, *Polyhedron* 24 (2005) 1101-1107.
- [17] Hakimi M., Kukovec B.-M., Schuh E., Normohammadzadeh, Z., Mohr F., “*Preparation and Crystal Structure of Lead (II) Complex with Propane-1,2-Diamine*”, *J. Chem. Crystallogr.* 42 (2012) 180-185.
- [18] Abolghasempour S.A., Salimi A., Nakhaeipour A., “*Synthesis, characterization and crystal structure determination of new coordination polymer of zinc(II) containing N-(4-pyridyl)isonicotinamide ligand (in Persian)*”, *Iranian Journal of Crystallography and Mineralogy (IJCm)* 28(4) (2020) 1023-1036.